

ХАРАКТЕРИСТИЧЕСКИЕ ПОЛОСЫ ПОГЛОЩЕНИЯ В ИК-СПЕКТРАХ ДИНИТРОСОЕДИНЕНИЙ

С. А. СТЕПАНЯН, Л. Г. ПЕЩАНСКАЯ

(Кафедра физики)

Проведено отнесение характеристических полос поглощения в ИК-спектрах динитросоединений — производных динитроэтана и диметилдинитрометана. Выполнен расчет геометрии молекул этих соединений по методу MINDO/3, в результате установлены закономерности влияния нитрогрупп на углеродный скелет молекул. В итоге были определены силовые постоянные и частоты колебаний изучаемых молекул.

Бурное развитие и совершенствование электронно-вычислительной техники сделали возможным проведение квантово-химических расчетов силовых постоянных. Недавно была разработана методика, позволяющая решать задачу поиска параметров потенциальной поверхности молекулы в системе зависимых естественных координат [7—9]. Преимуществами методики являются удобство описания симметрии молекул, возможность вычисления части (а не всех) параметров модельного потенциала с учетом свойства переносимости параметров потенциальной функции, что невозможно при расчете в независимых координатах.

Эта программа расчета силовых постоянных была успешно применена при изучении строения молекул ряда кетонов и альдегидов [4, 5]. Задача нахождения силовых постоянных нами была решена применительно к динитросоединениям.

Следует отметить, что динитросоединения представляют собой химически неустойчивые вещества, поэтому отыскание экспериментальных данных для них оказалось весьма затруднительно. Нами был найден ИК-спектр 1,1-динитроэтана и впоследствии рассчитаны силовые постоянные квантовым методом [6]. Результаты квантового расчета послужили исходной моделью силового поля, которое затем уточнялось при сопоставлении рассчитанных частот с экспериментальным спектром.

Поскольку точных сведений о структуре динитроэтана в литературе не обнаружено, проводился расчет геометрии указанной молекулы методом MINDO/3. В качестве исходной геометрии выбраны параметры, приведенные в [1] для нитросоединений. В табл. 1 сопоставлены исходные данные и полученные в результате квантового расчета. Расхождение квантово-химических параметров с исходными не превышает точности расчета. Заметим, что оптимизация геометрии проводилась дважды — для цис- и транс-конформации, в последнем случае по отношению к NO_2 группам. Кроме того, квантово-химический расчет геометрии проводили и для молекулы динитродиметилэтана. Для сохранения симметрии молекул и уменьшения числа рассчитываемых параметров нитрогруппы располагали в

Таблица I

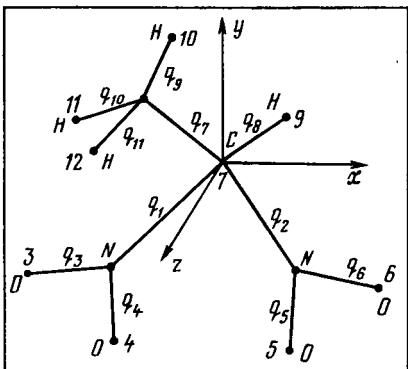
Геометрические параметры динитросоединений, полученные из квантового расчета

Параметр	CH ₃ —CH(NO ₂) ₂		(CH ₃)—C(NO ₂) ₂	Исходные данные
	цис	транс		
N—O	1,236 1,200	1,234 1,200	1,234 1,229	1,224 (4) 1,506
C—N	1,510	1,506	1,53	1,506 (12)
C—C	1,55	1,56	1,59	1,54
C _u —H	1,14 1,092 1,115 1,115	1,138 1,133 1,098 1,098	— 1,103 1,104 1,104	1,088 1,088
C _m —H	127,5 113,09	126,44 113,58	125,37 115,88	127,0 116,5°
<CNO	119,38	119,96	118,75	
<NCN	117,7	117,7	118,05	109,2° (20)
<NCH	104,4	105,15	—	109,47°
<C _u C _u H	108,67 115,68 116,46 116,46	108,32 114,14 115,56 115,56	— 111,53 113,76 113,76	109,47° 109,47°
<HC _u H	102,7 100,5	104,93 100,11	106,47 106,47	109,47°
<NCC	110,5	110	106,64	109,47°
<CC _u C	—	—	112,38	109,47°

Примечание. Длины связей приведены в ангстремах, а углы — в градусах. С_u — углерод центральный; С_m — углерод метильной группы.

плоскости ребра тетраэдра; 1 из C—H связей (или 2 в случае динитродиметилметана) также помещали в одной плоскости с C—C связью. Углы при центральном атоме углерода и в метильных группах/первоначально принимали равными тетраэдрическим. В процессе расчета были выявлены некоторые закономерности. Электростатическое отталкивание NO₂-групп обуславливает увеличение угла NCN до 118°. Внутренние углы нитрогрупп довольно стабильны и близки к исходным. Если водород при центральном атоме углерода отсутствует, то деформация тетраэдрических углов уменьшается. Поскольку транс-конформация энергетически более выгодна, чем цис-конформация, в основу расчета силовых постоянных были положены геометрические параметры первой. Рассчитанные значения углов и длин связей для нее гораздо лучше совпадают с первоначально взятыми данными. Отклонения практически всех параметров от исходных не превышают точности расчета и составляют ±0,1 Å для связей и ±5° для углов. Это дало нам основание использовать значения длин связей и величин углов без изменений в ряду молекул при замене одного из радикалов в целях выяснения характеристичности колебаний нитрогруппы и нахождения частотных интервалов для данной группы атомов. В качестве радикалов к основной молекуле присоединяли аминную группу NH₂ или бензольное кольцо.

Таким образом, были рассчитаны ИК-спектры 3 соединений — производных динитроэтана — и 3 — производных динитроди-



метилметана. Рассмотрена характеристичность по частоте, форме, распределению энергии по степеням свободы, смещениям атомов.

Как отмечалось выше, модельным соединением служил динитроэтан. На рисунке дана система естественных координат, использованная при расчете силовых постоянных и частот колебаний спектров. В качестве нулевого приближения силового поля U_0 использовали силовые константы, приведенные в [2] для нитрогруппы, для метильных групп — параметры из [3]. Так как матрица U_0 должна быть диагональной и приближенной, этих данных оказалось достаточно. Расчет силовых постоянных велся по частям, т. е. отдельно силовые постоянные связей и взаимодействий между ними, углов и взаимодействий между ними, взаимодействия связей и углов. Такое дробление параметров вызвано большим количеством рассчитываемых констант. Частичное решение квантово-химической задачи позволяет сократить время машинного счета и получить более точные результаты. Для нахождения устойчивого решения число точек на потенциальной поверхности, в которых проводили расчет силовых постоянных, брали равным 5-кратному значению числа рассчитываемых параметров (оптимальный вариант). При расчете учитывали 3-и и 4-е члены в разложении потенциальной функции. Как правило, силовые постоянные для связей получали с учетом только 3-х членов разложения, а для углов — и 4-х. В табл. 2 представлены результаты этого расчета. Последние были использованы в качестве нулевого приближения при решении прямой спектральной задачи. Во 2-й колонке таблицы даны те же силовые постоянные, что и в 1-й, но умноженные на масштабирующие коэффициенты. Они равны 0,75 для силовых постоянных связей и 1,2 для силовых постоянных углов. В 3-й колонке приведены силовые постоянные, позволяющие получить окончательное решение прямой задачи.

Как видно из табл. 3, расхождение экспериментальных и рассчитанных частот колебательного спектра динитроэтана не превышает 25 см^{-1} . Отсутствие ряда частот в области $900—700 \text{ см}^{-1}$ в теоретическом спектре можно объяснить существованием не-

Таблица 2

Силовые постоянные динитросоединений, полученные из квантово-механических расчетов

Параметр	$\text{CH}_3-\text{CH}(\text{NO}_2)_2$			$(\text{CH}_3)-\text{C}(\text{NO}_2)_2$	
	I	II	III	I	II
K_{CN}	$9,538 \pm 0,658$	7,153	7,2	$8,460 \pm 0,961$	6,345
K_{CN}^{N}	$1,889 \pm 0,631$		1,6	$1,662 \pm 0,645$	
K_{NO}^{N}	$1,28 \pm 0,356$		1,5	$1,037 \pm 0,287$	
K_{CC}^{N}	$0,189 \pm 0,330$		0,19	$0,701 \pm 0,181$	
$K_{\text{C}_{\text{u}}\text{H}}^{\text{N}}$	$0,316 \pm 0,326$		0,32	—	
K_{NO}	$23,046 \pm 0,840$	17,284	14,8	$21,141 \pm 0,893$	15,855
K_{NO}^{O}	$1,746 \pm 0,871$		2,3	$2,261 \pm 0,679$	
K_{CC}	$8,485 \pm 0,978$	6,364	7,02	$10,111 \pm 0,574$	7,583
$K_{\text{C}_{\text{u}}\text{H}(\text{CC})}^{\text{C}}$	$-0,735 \pm 0,469$		0,05	$1,329 \pm 0,648$	
$K_{\text{C}_{\text{u}}\text{H}}^{\text{C}}$	$0,721 \pm 0,271$		0,05	$0,574 \pm 0,182$	
$K_{\text{C}_{\text{u}}\text{H}}$	$9,554 \pm 0,869$	7,165	7,96	—	
$K_{\text{C}_{\text{u}}\text{H}}$	$11,690 \pm 0,530$	8,767	8,27	$10,379 \pm 0,291$	7,784
$K_{\text{C}_{\text{u}}\text{H}}^{\text{N}}$	$0,186 \pm 0,379$		0,168	$-0,062 \pm 0,196$	
$K_{\text{CNO}}^{\text{N}}$	$1,001 \pm 0,489$		0,66	$0,322 \pm 1,20$	
$K_{\text{NCN}}^{\text{N}}$	$0,661 \pm 0,420$		0,67	$2,059 \pm 0,607$	
$K_{\text{NCN}}^{\text{C}}$	$1,045 \pm 0,354$		0,5	$1,110 \pm 0,830$	
$K_{\text{NC}_{\text{u}}\text{H}}^{\text{N}}$	$0,495 \pm 1,675$		0,6	—	
$K_{\text{ONC}}^{\text{N}}$	$0,377 \pm 0,542$		0,25	$0,348 \pm 0,254$	
$K_{\text{ONO}}^{\text{N}}$	$1,128 \pm 0,499$		0,55	—	
$K_{\text{CC}}^{\text{NCC}}$	$0,901 \pm 0,498$		1,04	$1,071 \pm 0,573$	
$K_{\text{C}_{\text{u}}\text{C}_{\text{u}}\text{H}(\text{CCC})}^{\text{C}}$	$0,631 \pm 0,526$		0,63	—	
$K_{\text{C}_{\text{u}}\text{C}_{\text{u}}\text{H}}^{\text{C}}$	$0,227 \pm 0,413$		0,43	—	
$K_{\text{CNO}}^{\text{CNO}}$	$1,758 \pm 0,264$	2,11	1,1	$1,554 \pm 1,382$	1,865
$K_{\text{CNO}}^{\text{CNO}}$	$-0,560 \pm 0,333$		-0,04	$-1,77 \pm 0,893$	
$K_{\text{CNO}}^{\text{NCN}}$	$-0,645 \pm 0,126$			—	
$K_{\text{CNO}}^{\text{NCC}}$	$0,518 \pm 0,113$		0,52	—	
$K_{\text{NC}_{\text{u}}\text{H}}^{\text{CNO}}$	$-0,125 \pm 0,107$		-0,13	—	
K_{ONO}	$2,123 \pm 0,322$	2,548	2,5	$3,422 \pm 1,277$	4,106
$K_{\text{NCN}}^{\text{ONO}}$	$2,269 \pm 0,617$	2,723	1,1	$1,484 \pm 0,827$	1,781
$K_{\text{NCN}}^{\text{NCC}}$	$0,510 \pm 0,117$		0,51	$0,446 \pm 0,164$	
$K_{\text{NC}_{\text{u}}\text{H}}^{\text{NCN}}$	$0,650 \pm 0,266$		0,65	—	
$K_{\text{NC}}^{\text{NC}}$	$2,512 \pm 0,293$	3,014	2,576	$2,054 \pm 0,403$	2,465
$K_{\text{NC}_{\text{u}}\text{H}}^{\text{NC}}$	$-0,072 \pm 0,082$			—	
$K_{\text{NC}}^{\text{NC}}$	$-0,017 \pm 0,578$		-0,05	$0,165 \pm 0,305$	
$K_{\text{CC}}^{\text{NC}}$	$-0,256 \pm 0,381$			$-0,205 \pm 0,363$	
$K_{\text{NC}_{\text{u}}\text{H}}^{\text{NC}_{\text{u}}\text{H}}$	$1,058 \pm 0,209$	1,27	0,93	—	
$K_{\text{NC}_{\text{u}}\text{H}}^{\text{NC}_{\text{u}}\text{H}}$	$-0,052 \pm 0,174$		-0,035	—	
$K_{\text{C}_{\text{u}}\text{C}_{\text{u}}\text{H}}^{\text{NC}_{\text{u}}\text{H}}$	$-0,051 \pm 0,15$		-0,035	—	
$K_{\text{C}_{\text{u}}\text{C}_{\text{u}}\text{H}}^{\text{C}_{\text{u}}\text{C}_{\text{u}}\text{H}}$	$0,5 \pm 0,273$	0,6	0,9	—	
$K_{\text{C}_{\text{u}}\text{C}_{\text{u}}\text{H}}^{\text{C}_{\text{u}}\text{C}_{\text{u}}\text{H}}$	$0,954 \pm 0,166$	1,145	0,9	$0,646 \pm 0,276$	0,775
K_{HCH}	$0,871 \pm 0,125$	1,045			
	$0,691 \pm 0,130$	0,829			
	$0,709 \pm 0,191$	0,851	0,66	$0,659 \pm 0,343$	0,791
$K_{\text{C}_{\text{u}}\text{C}_{\text{u}}\text{C}_{\text{u}}\text{H}}$	—	—	—	$1,289 \pm 0,543$	1,547

Таблица 3

Экспериментальные и рассчитанные частоты и формы колебательного спектра динитрэтана

Экспериментальные	Теоретические	Формы колебаний			
2988			1333	1355	ν_{NO} , δ_{NCH} , δ_{ONO} , δ_{ONC}
2987			1282	1299	δ_{CCH} , δ_{NCH} , δ_{CCN}
2972		ν_{CN}	1234	1238	ν_{CN} , δ_{NCH} , δ_{HCC} , δ_{NCH}
2921			1136	1120	ν_{CN} , δ_{HCC} , δ_{NCH}
1567	1588	ν_{NO} , Δ_{ONC} , δ_{NCH}	1075	1061	ν_{CN} , δ_{HCC} , δ_{NCH}
	1580	ν_{NO} , δ_{ONO} , δ_{ONC}	1025	1017	δ_{HCC} , δ_{NCH}
1438	1424	δ_{NCH} , δ_{HCC}	943	919	δ_{HCC} , δ_{NCH} , δ_{ONO} , δ_{ONC}
	1423	δ_{NCH} , δ_{HCC}	—	—	ν_{CC} , δ_{ONO} , δ_{HCC}
1388	1383	ν_{CN} , ν_{NO} , δ_{ONO} , δ_{ONC}	877	—	
	1372	δ_{HCC} , δ_{NCH} , δ_{NCH}	865	—	
			781	—	
			709	733	δ_{ONC} , δ_{ONO} , δ_{NCC}
			673	686	δ_{ONO} , δ_{ONC}
			651	—	
				521	δ_{NCC} , δ_{CCN}
				440	δ_{NCC}
				370	δ_{ONC} , δ_{ONO}
				355	δ_{ONC}
				47	δ_{NCN}

плоских колебаний, которые не учитывали при расчете.

Остановимся подробно на анализе тех частот, которые обусловлены колебаниями нитрогрупп. Рассматривая формы колебаний, можно выделить ряд частот, связанных с колебаниями NO_2 . Это прежде всего 1588 и 1580 см^{-1} . По форме они не являются характеристичными. Кроме валентных N—O и деформационных ONO колебаний определенный вклад вносят деформационные колебания углов NCN, CCH, NCH. Как уже отмечалось, формы колебаний определяют интенсивность полос, которую мы, к сожалению, не рассчитываем. О характеристичности с уверенностью можно судить по частоте, а о ней, в свою очередь, по распределению энергии по координатам, 90 % энергии в указанных выше частотах принадлежит N—O валентным колебаниям. В частотах 1383 и 1355 см^{-1} данному типу колебаний отводится около 55 % энергии. Значительную долю в эти частоты вносят деформационные ONO (15—20 %) колебаний. Следовательно, указанные частоты хотя и обусловлены смешанными по форме колебаниями, но четко характеризуют колебания именно NO_2 -группы.

В области 950—650 см^{-1} есть частоты, в которые деформационные ONO колебания внесли максимальный вклад (до 35 %), но их нельзя считать характеристическими ни по частоте, ни по форме.

Заметим, что деформационные колебания CNO являются характеристическими по частоте (65—80 %) в низкочастотной области (около 350 см^{-1}), для которой мы не располагаем результатами эксперимента.

Динамика колебательного процесса хорошо передается смещениями атомов. Так, растяжение N—O связей осуществляется преимущественно путем смещения атомов азота, причем происходят они в плоскости YZ, т. е. в плоскости, перпендикулярной той, в которой находятся атомы NO_2 -группы (XV), рисунок.

Характеристичность колебаний проверяется также сохранением частот и форм колебаний в ряду молекул, т. е. по изменению окружения интересующей нас группы. С этой целью нами были рассчитаны спектры молекул, в которых метильная группа динитроэтана заменена аминной (молекула № 104) и бензольным кольцом (молекула № 103). В первом соединении силовое поле для аминной группы заимствовано из [6]. При этом параметры не варьировались, увеличена лишь силовая постоянная деформационных колебаний NH_2 группы, что вызвано необходимостью получения частоты выше 1600 cm^{-1} , обусловленной NNH деформационными колебаниями. Второе соединение получено путем сшивки толуола, изъятого из библиотеки фрагментов, и динитроэтана при отбрасывании метильных групп в обеих молекулах и наложении $\text{C}-\text{C}$ связи толуола на $\text{C}-\text{C}$ связь динитроэтана.

Рассмотрим поведение интересующих нас частот в спектрах указанных выше молекул. Во-первых, в случае 1-й молекулы частоты оказались прежними (в пределах 1 cm^{-1}). Во-вторых, распределение по энергии также сохранилось (в пределах 2–3 %). В-третьих, смещения атомов носят тот же характер, что и в динитроэтане, только оно увеличилось в направлении оси z . Следовательно, замена метильной группы аминной не влияет на нитрогруппу.

Аналогичная картина наблюдается при сшивке динитроэтана с бензольным кольцом. В тех же пределах сохраняются частоты, формы, смещения атомов, распределение энергии, что свидетельствует о характеристичности колебаний NO_2 группы (табл. 4).

У второго типа динитросоединений в отличие от первого атом водорода был заменен метильной группой (молекула № 101). Сило-

Таблица 4

№ 104

Частота, cm^{-1}	Распределение энергии по координатам в ряде частот ИК-спектров динитросоединений			$(\text{CH}_3)_2-\text{C}(\text{NO}_2)_2$			
	Распределение энергии по координате, %						
	N—O (ва- лент- ное ко- ле- бание)	ONO (де- фор- ма- ци- он- ное ко- ле- бание)	ONC (де- фор- ма- ци- он- ное ко- ле- бание)				
$\text{CH}_3-\text{CH}(\text{NO}_2)_2$							
1588	88,9	0,0	5,6	1572	92,0	0,0	5,4
1580	90,3	0,0	8,2	1576	90,5	0,1	5,6
1383	54,2	18,0	4,2	1384	46,3	16,2	4,5
1355	54,2	14,2	3,1	1325	5,5	15,5	3,5
$\text{NH}_2-\text{CH}(\text{NO}_2)_2$							
1588	88,8	0,0	5,6				
1581	87,5	0,1	8,3				
1382	51,2	17,8	4,7				
1356	53,7	13,7	3,0				
$\text{NH}_2\text{CCH}_3(\text{NO}_2)_2$							
1574				1574	90,4	0,1	8,1
1569				1569	92,6	0,0	5,3
1381				1381	50,3	17,2	4,8
				1329	46,6	14,6	3,4
$\text{C}_6\text{H}_5-\text{CH}(\text{NO}_2)_2$							
1588				1588	89,3	0,0	5,6
1578				1578	85,3	0,0	7,4
				1384	55,3	18,5	4,4
				1355	54,7	14,4	3,2
$\text{C}_6\text{H}_5-\text{CCCH}_3(\text{NO}_2)_2$							
1574				1574	84,6	0,1	5,1
1572				1572	92,2	6,0	5,3
				1384	47,5	16,6	4,5
				1323	56,5	16,0	3,8
				№ 106			

вые постоянные для этой молекулы приведены в табл. 2. Сравнение параметров, полученных для двух молекул, показывает, что большинство диагональных элементов имеет довольно близкие значения, следовательно, найденное решение правильное. Недиагональные элементы, т. е. взаимодействия координат друг с другом, рассчитываются с меньшей точностью, но и они, за редким исключением, имеют значения, удовлетворительно совпадающие с эмпирическими.

Спектр поглощения динитродиметилметана рассчитывали, руководствуясь силовым полем, полученным для динитроэтана, поскольку для него имеется экспериментальный спектр. Основные полосы 1580 и 1588 см^{-1} в спектре динитроэтана понизились в спектре динитродиметилметана до 1576 и 1572 см^{-1} , но по форме они остались такими же, т. е. обусловлены валентными N—O, а также деформационными ONO и CNO колебаниями. 90 % энергии приходится на N—O-валентное колебание, смещение атомов максимально для атомов азота. Как видно, картина аналогична той, которая наблюдалась для молекулы динитроэтана. Частота 1383 см^{-1} (1384 см^{-1}) по форме осталась прежней, но распределение энергии изменилось. Теперь на долю N—O валентных колебаний приходится лишь 46,3 %, но доля валентных C—N колебаний возрастает до 29 %. До 16 % уменьшается энергия деформационных ONO колебаний. Что касается частоты 1355 см^{-1} , в которую существенный вклад внесли деформационные HCN колебания, то в связи с заменой атома метильной группой и превращением угла HCN в CCN она смещается к 1325 см^{-1} . Ей также свойственны уменьшение энергии N—O валентных колебаний и увеличение C—N. Вклад в энергию деформационных ONO и CNO колебаний практически не изменился.

В области 950—650 см^{-1} имеется ряд частот, которые обусловлены деформационными NO₂ колебаниями, но они не являются характеристическими для данного типа колебания. Правда, частота около 350 см^{-1} остается весьма характеристичной, вклад энергии в деформационные CNO колебания повышается до 90 %.

Проследим за перечисленными выше частотами в двух других молекулах, когда одна из метильных групп заменяется аминной или бензольным кольцом.

Первые две частоты 1575 и 1572 см^{-1} мало меняются (1574 и 1569 см^{-1}) не только по частоте, но и по форме, распределению энергии, смещению атомов. Их по-прежнему можно считать характеристическими по частоте. То же самое относится и к полосам в области 1300—1400 см^{-1} . На долю валентных N—O колебаний в указанной частоте приходится около 50 % всей энергии, на долю C—N валентных — около 30, а деформационных ONO колебаний — около 15 %. Максимальная энергия деформационных NO₂ колебаний встречается при частотах 733 и 893 см^{-1} .

Данные, полученные для второй молекулы с бензольным кольцом, подтверждают выводы, сделанные ранее, а именно выводы о

характеристичности 4 частот — около 1570 и 1380 см⁻¹. Остальные частоты меняются и по величине, и по форме, и по распределению энергии. Обсуждаемые частоты для всех молекул приведены в табл. 4.

В заключение следует отметить, что в области 1550—1600 и 1300—1400 см⁻¹ в спектрах поглощения нитросоединений имеются полосы, характеризующие нитрогруппы, их частота и интенсивность достаточно стабильны.

ЛИТЕРАТУРА

1. Вилков Л. В., Мастюков В. С., Садова Н. И. Определение геометрического строения свободных молекул.—Л.: Химия, 1978.—
2. Грибов Л. А. Введение в молекулярную спектроскопию.—М.: Наука, 1976.—
3. Грибов Л. А. Колебание молекул.—М.: Наука, 1972.—
4. Мерзляк Т. Т., Рыбальченко И. В., Грибов Л. А. Квантово-химический расчет силовых полей молекул ряда альдегидов и кетонов в системе зависимых координат.—ЖПС, 1987, т. 47, № 1, с. 89—96.—
5. Мерзляк Т. Т., Рыбальченко И. В., Грибов Л. А. Расчет частот колебаний многоатомных молекул методом комбинированного поля.—Изв. ТСХА, 1987, вып. 3, с. 181—184.—
6. Шатохин С. А., Грибов Л. А., Пере-лыгин И. С. Программа для кван-

тового расчета параметров потенциальной поверхности многоатомных молекул.—Деп. ВИНТИ № 3747—85.—

7. Шатохин С. А., Грибов Л. А., Пере-лыгин И. С. Квантово-химический метод определения силовых постоянных многоатомных молекул в системе зависимых координат.—ЖПС, 1985, т. 43, № 2, с. 259—265.—

8. Шатохин С. А., Грибов Л. А., Пере-лыгин И. С. Алгоритм определения равновесной геометрии многоатомных молекул с автоматических исключением зависимых координат.—ЖСХ, 1985, т. 26, № 4, с. 42—47.—

9. Шатохин С. А. Эффективный метод расчета параметров потенциальной функции и колебательных спектров многоатомных молекул в системе зависимых естественных координат.—Автореф. канд. дис. М., 1985.

Статья поступила 18 января 1990 г.

SUMMARY

The problem of assign of characteristic absorption bands in infrared-spectra of dinitrocompounds — derivatives of dinitroethane and dimethyldinitromethane — is discussed. Geometry of these compounds is calculated using MINDO/3 technique, and as a result regularities of the effect of nitrogroups on molecule carbonic skeleton are established. In the end, power constants and vibration frequencies of the molecules studied were calculated.